

表3 温度对安培滴定值的影响

温度(℃)	终 点 0.005N KIO <sub>3</sub> (ml)	安培滴定值
2.0	0.71	4.23
14.5	0.70	4.29
17.5	0.70	4.29
21.5	0.71	4.23
28.0	0.71	4.23
45.0	无突变点	—
51.5	无突变点	—

表4 样品脱脂与不脱脂测定结果比较

品种名称	直链淀粉* %		不脱脂与脱脂 相差(%)
	脱 脂	不 脱 脂	
庚湘	21.6	17.1	- 4.5
朝阳早 107	18.3	6.0	-12.6
桂朝 2 号	21.0	6.1	-14.9
广陆矮	17.7	6.2	-11.5
珍珠矮	18.3	11.0	- 7.3
广解 9 号	18.0	6.2	-11.8

\* 两次测定的平均值

明：在实验范围内，糊精、支链淀粉对直链淀粉安培滴定值没有明显影响。同时选用了六个水稻品种，研磨

烘干，其中一份脱脂，分别测定样品中直链淀粉含量（表4）。可以看出，不脱脂样品中直链淀粉含量显著低于脱脂样品；这是因为谷物脂肪中的软脂酸、油酸、亚油酸等能与直链淀粉形成比较稳定的复合物，相应降低了直链淀粉测得量。

#### 4. 甘汞电极的寿命

简易的安培滴定装置，操作方便。但由于甘汞电极为多孔陶瓷端微孔结构、易沾附淀粉碘复合物，引起电流值减小，使用几次就要重新更换。我们将甘汞电极放在 0.5N 热氢氧化钠溶液中浸泡数分钟，用蒸馏水洗净，电极立即恢复原有性能。

#### 5. 安培滴定结果的稳定性和准确性

在每次测定时，由于旋转铂电极的搅拌速度不同，电流增值发生明显变化，速度愈快，增值愈大，但突变点不变，滴定终点一致，保证了测定结果的稳定性及准确性。

### 参 考 文 献

- [1] Williams, P. C. et al.: *Cereal Chem.*, **47**, 411, 1970
- [2] Bruce, L. et al: *Analytical Chemistry*, Vol. **25**(5), 803, 1953.
- [3] Bates, L. F. et al.: *Am. Chem. Soc.*, **65**, 142, 1943.
- [4] 何照范等：《生物化学与生物物理进展》，1, 70, 1981。

[本文于 1983 年 11 月 1 日收到]

## 两种 3', 5'-环核苷酸磷酸二酯酶的制备\*

尚克进 凌启润 李翠凤 曹 纶 胡卫鲤

(南开大学生物化学教研室, 天津)

3', 5'-环核苷酸磷酸二酯酶 [EC3·1·4·17] (以下简称 PDE)首先从牛心中分离得到<sup>[1, 2]</sup>。PDE 在生物体中有重要功能，它水解环核苷酸为 5'-核苷酸，与核苷酸环化酶共同维持细胞内环核苷酸水平。

根据性质不同，PDE 可分为多种形式。其中主要的两种为：依赖于 Ca<sup>2+</sup> 的 PDE，可以被钙调节蛋白(简称 CaM)激活。另一种是不依赖于 Ca<sup>2+</sup> 的 PDE，不被钙调节蛋白激活。开展对环核苷酸、钙调节蛋白、某些药物药理作用、某些激素作用原理的研究，以及筛选某些抗肿瘤药物，均迫切需要分离制备这两种不同形式的 PDE。作者参照 Ho<sup>[3]</sup> 和 Sharma 等<sup>[4]</sup>的方法，并加以适当改进，更为简便地同时制备出两种 PDE。

### 材 料 和 方 法

#### 一、试剂与材料

DEAE-纤维素， DE-32(Whatman)

钙调节蛋白 (Sigma, 或按 Sharma 等<sup>[4]</sup>法制备)

EGTA (Sigma)

cAMP (上海生化制药厂)

眼镜蛇蛇毒 (广西医学院)

牛血清白蛋白 (上海生物化学研究所)

牛心 (天津第三食品厂)

其它试剂均采用二级品

#### 二、方法

##### 1. 制备方法

新鲜牛心切去结缔及脂肪组织后，于 -20℃ 保存备用，三个月内未见 PDE 活性损失。

(1) 两次层析法 冰冻组织 500 克，加入 2.5 倍体积的缓冲液 A (20 mM Tris-HCl, 1 mM EDTA, pH 7.5)，部分解冻后用高速组织捣碎机捣碎。10,000g

\* 中国科学院科学基金会资助项目。

离心 30 分钟，取上清液用  $(\text{NH}_4)_2\text{SO}_4$  盐析，饱和度为 55%。10,000g 离心 30 分钟，取沉淀溶于约 50ml 缓冲液 B (20 mM Tris-HCl, 1 mM 咪唑, 1 mM  $\text{Mg}(\text{CH}_3\text{COO})_2$ , 10 μM  $\text{CaCl}_2$ , 10 mM 疏基乙醇, pH 7.0) 中。对缓冲液 B 透析过夜。105,000g 离心 60 分钟。取上清液以 0.5 ml/min 的流速通过以缓冲液 B 平衡的 DEAE-纤维素柱 ( $2.5 \times 50\text{cm}$ )。样品进入后，用两倍体积含 0.08 M  $\text{NaCl}$  的缓冲液 B 淋洗，然后用含 0.08 M  $\text{NaCl}$  和 0.4 M  $\text{NaCl}$  的缓冲液 B 各 900 ml 梯度洗脱。分步收集洗脱液，通过电导率检测  $\text{NaCl}$  浓度，280 nm 检测蛋白，并测定各分部的 PDE 活性。第一次层析后得到相互分离的两种 PDE 活性洗脱峰。分别合并两个峰，对缓冲液 C (20 mM Tris-HCl, 1 mM 咪唑, 1 mM  $\text{Mg}(\text{CH}_3\text{COO})_2$ , 0.1 mM EGTA, 10 mM 疏基乙醇, pH 7.0) 透析过夜。分别用两个以缓冲液 C 平衡的 DEAE-纤维素柱 ( $2.5 \times 50\text{cm}$ ) 进行再层析。上样后用两倍柱体积含 0.08 M  $\text{NaCl}$  的缓冲液 C 淋洗，然后用含 0.08 M 和 0.4 M  $\text{NaCl}$  的缓冲液 C 各 450 ml 进行梯度洗脱。分步收集洗脱液，得到进一步纯化的两种 PDE。合并高峰管，分装后置 -20°C 下保存。

(2) 一次层析制备 PDE 样品只通过一次 DEAE-纤维素柱，缓冲液直接使用含有 EGTA 的缓冲液 C，梯度洗脱用含 0.08 M  $\text{NaCl}$  和 0.4 M  $\text{NaCl}$  的缓冲液 C 各 800 ml。其它操作过程同上。

整个制备过程在 4°C 下进行。

## 2. 活性分析

(1) 样品活性分析 采用二步温育法<sup>[2]</sup>。在冰浴下，将适量待测样品加入分析液中，分析液含 Tris-HCl 40 mM (pH 7.5)，咪唑 40 mM，醋酸镁 5 mM，氯化钙 0.1 mM，钙调节蛋白 50 ng，cAMP 1.2 mM，终体积为 0.9 ml，混匀后开始第一次温育，30°C 水浴保温 30 分钟后，置沸水浴煮沸 2.5 分钟，终止反应，冷却后加入蛇毒 (1 mg/ml) 0.1 ml，在 30°C 下第二次温育 10 分钟，温育终了，加入 55% TCA 0.1 ml。3000 rpm 离心 20 分钟，取上清液按 Fiske 和 SubbaRow 法<sup>[3]</sup>定磷，生成的蓝色在 660 nm 下比色。以沸水浴灭活的样品做为空白。

(2)  $\text{Ca}^{2+}$  依赖性测定 在上述活性测定反应体系中，以 0.1 mM EGTA 代替 0.1 mM  $\text{CaCl}_2$  作对比，比较样品在有  $\text{Ca}^{2+}$  和无  $\text{Ca}^{2+}$  条件下的活性，以确定样品对  $\text{Ca}^{2+}$  的依赖性。

(3) PDE 的激活曲线 在活性测定反应体系中，加入 0.012—0.016 U 的 PDE，各管依次加入不同数量 (0—0.2 μg) 的 CaM，用上述活性分析法测定 PDE 在不同量 CaM 下的活性。以 CaM 用量对 PDE 活性作图，绘制激活曲线。

在 pH 7.5, 30°C 的标准条件下，酶被充分激活时，每分钟水解 1 微克分子 cAMP 所需的酶量定义为一个 PDE 活力单位。根据此定义求出未激活时和最大激活

时的活力单位数。二者相除即得到激活倍数。

## 3. 蛋白质测定

层析过程，根据蛋白质对 280 nm 的吸收进行监测。

由于所用缓冲液中含有疏基乙醇，采用 Ross 等<sup>[4]</sup>的方法进行蛋白质定量测定，用过量的碘代乙酸盐消除巯基化合物对 Lowry<sup>[5]</sup> 法的影响。

蛋白质标准曲线用牛血清白蛋白制作。

## 结果与讨论

### 一、两次层析制备 PDE

#### 1. 第一次层析

样品经过用缓冲液 B (含有  $\text{Ca}^{2+}$ ) 平衡的 DEAE-纤维素柱层析，得图 1 所示洗脱曲线。在  $\text{NaCl}$  为 0.15 M 和 0.21 M 时得到相互分离的两个 PDE 活性峰 (PDE-I 和 PDE-II)，活性峰与 280 nm 蛋白质吸收峰不重合。

Ho 等<sup>[3]</sup>在有  $\text{Ca}^{2+}$  存在下，进行第一次层析时，两个活性峰未能分开，仅得到一个较宽的活性峰。采用本文所述方法，在第一次层析时即获得两种不同形式 PDE 的分离，有利于进一步分离纯化。

#### 2. 第二次层析

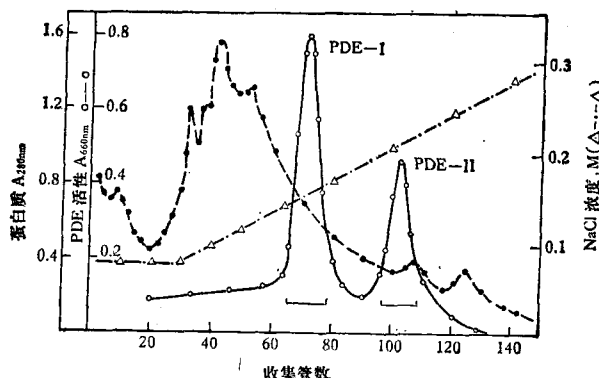


图 1 第一次 DEAE-纤维素柱层析分离

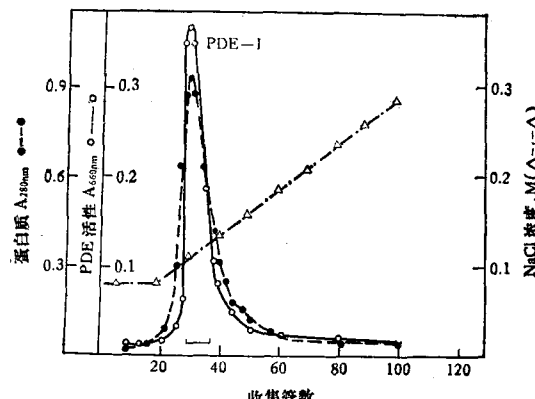


图 2 PDE-I 第二次层析洗脱曲线

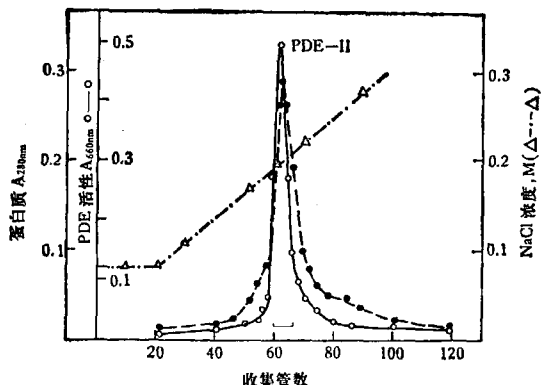


图 3 PDE-II 第二次层析洗脱曲线

将第一次层析所得 PDE-I 和 PDE-II 的活性高峰管分别合并,各自通过一个用缓冲液 C (含有 EGTA)平衡的 DEAE-纤维素柱进行再层析,得到图 2、图 3 所示的洗脱曲线。

两个 PDE 峰分别经过第二次层析后,280nm 蛋白吸收峰与活性峰基本重合,得到较纯的两种 PDE。

通过外源 CaM 激活实验及  $\text{Ca}^{2+}$  依赖性实验(表 1)证明: PDE-I 和 PDE-II 为两种不同形式的 PDE。PDE-I 可被外源 CaM 激活,并且激活作用依赖于  $\text{Ca}^{2+}$  的存在;而 PDE-II 不被外源 CaM 激活,不具对  $\text{Ca}^{2+}$  的依赖性。

PDE-I 经过第二次层析后,层析位置前移,在 0.11M NaCl 时被洗脱,因为在含有  $\text{Ca}^{2+}$  的第一次层析中,  $\text{Ca}^{2+}$  的存在促使 PDE-I 与内源 CaM 结合,复合物带较

表 1 PDE-I、PDE-II 活性与外源 CaM、 $\text{Ca}^{2+}$  的关系

	活性 ( $A_{660\text{nm}}$ )	
	PDE-I	PDE-II
$\text{Ca}^{2+}$	0.081	0.33
CaM + $\text{Ca}^{2+}$	0.65	0.33
CaM + EGTA	0.08	0.32

表 2 第二次层析前后 PDE-I  $\text{Ca}^{2+}$  依赖性,被激活倍数比较

	PDE-I 活性 ( $A_{660\text{nm}}$ )	
	第一次层析后	第二次层析后
$\text{Ca}^{2+}$	0.29	0.081
CaM + $\text{Ca}^{2+}$	0.36	0.65
激活倍数	1.2	8.0
CaM + EGTA	0.09	0.08

多负电荷、与 DEAE 结合紧密,因此要在较高的盐浓度下才被洗脱。而在无  $\text{Ca}^{2+}$ ,有 EGTA 的第二次层析中, PDE-I 与 CaM 分离,故在较低盐浓度下便被洗脱。经第二次层析,由于分离除去了内源 CaM,使 PDE-I 被外源 CaM 激活的倍数由第一次层析后的 1.2 倍,提高为 8 倍。(表 2)

PDE-II 在第二次层析中,仍在 0.21M NaCl 下被洗脱。

各纯化步骤的效果见表 3。经二次层析后 PDE-I 的比活为 0.278U/mg 蛋白,相对于匀浆液纯化了

表 3 各纯化步骤的纯化效果

分 部	总活力(U)	总蛋白(mg)	比活(U/mg)	活力回收(%)	纯化倍数(倍)
匀 浆 液	85	33800	0.0025	100	
离心上清液	66	7900	0.0080	77.6	3.2
盐析沉淀	47	1080	0.044	55.3	17.6
DEAE-纤维素柱	PDE-I	15	54	0.278	111.2
层析洗脱液	PDE-II	5	23	0.217	86.8

表 4 本样品与 Sigma 产品比较

		比活(U/mg)	激活倍数	收 率 (%)
依赖 $\text{Ca}^{2+}$ 的 PDE	样 品	0.278	6—8	17.6
	Sigma 产 品	0.05—0.2	3—4	5
不依赖 $\text{Ca}^{2+}$ 的 PDE	样 品	0.217	<0.17	5.9
	Sigma 产 品	0.08	0.20	1—5

表 5 一次含 EGTA 柱层析与二次柱层析比较

		比活 (U/mg)	激活倍数(倍)	回收率(%)	产率 (U/kg)
依赖于 $\text{Ca}^{2+}$ 的 PDE	一次 EGTA 柱层析	0.25	4—5	35	70
	二次柱层析	0.278	6—8	17.6	36
不依赖于 $\text{Ca}^{2+}$ 的 PDE	一次 EGTA 柱层析	0.20	<0.2	12	25.2
	二次柱层析	0.217	<0.17	5.9	12.6

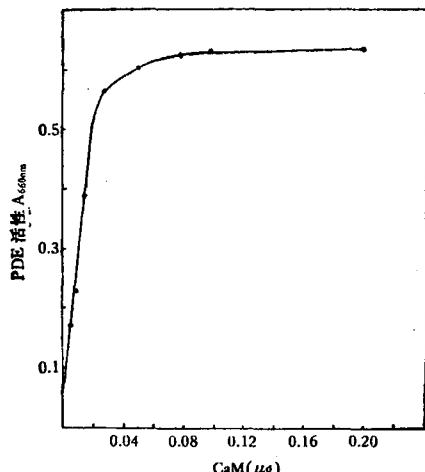


图 4 PDE-I 激活曲线

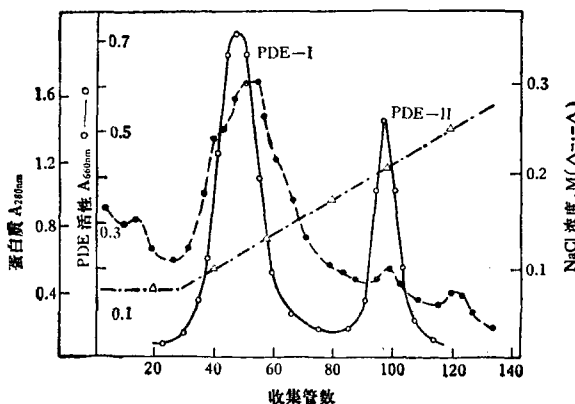


图 5 一次含 EGTA 柱层析分离

111.2 倍。活力回收 17.6%。PDE-II 比活为 0.217U/mg 蛋白，相对于匀浆液纯化 86.8 倍，活力回收 5.9%。

### 3. 样品分析

从表 1、表 2 及图 4 的激活曲线可见，用二次层析法制备的 PDE-I 能被外源 CaM 激活 8 倍，激活具明显的对  $\text{Ca}^{2+}$  的依赖性。其它各项指标均超过美国 Sigma 公司的同类产品(表 4)。

## 二、一次层析制备 PDE

### 1. 一次含 EGTA 柱层析

样品只通过用含 EGTA 的缓冲液 C 平衡的 DEAE-纤维素柱，进行一次层析，两种 PDE 即相互分离，得图 5 所示洗脱曲线。两种 PDE 分别在 0.11M 和 0.21M NaCl 浓度下被洗脱。活性峰与 280nm 蛋白吸收峰不相重合。

含有 EGTA 的层析(图 5)与含有  $\text{Ca}^{2+}$  的层析(图 1)相比较，由于 EGTA 的存在，PDE-I 的层析位置前移，未能避开杂蛋白峰。而有  $\text{Ca}^{2+}$  层析的优点恰恰可以避开杂蛋白峰。如果在一次含 EGTA 层析中改变层析条件，使 PDE-I 活性峰避开杂蛋白峰，则分离效果可望提高。

### 2. 一次层析与二次层析比较

一次层析制备的 PDE-I 具有对  $\text{Ca}^{2+}$  依赖性，激活曲线与图 4 基本相同，但激活倍数较低，可被 CaM 激活 4—5 倍。完全能满足使用要求。PDE-I 的比活为 0.25 U/mg 蛋白，活力回收为 35%，PDE-II 比活为 0.20U/mg 蛋白，活力回收 12%。本法产率较高，制备周期缩短 1/3。两种制备方法的比较见表 5。

在实验中我们观察到 PDE 在  $\text{Ca}^{2+}$  环境中稳定性差，因此直接用含 EGTA 的 DEAE-纤维素层析可减少活力损失。

## 参 考 文 献

- [1] Sutherland, E. W. et al.: *J. Biol. Chem.*, **232**, 1065, 1958.
- [2] Butcher, R. W., et al.: *J. Biol. Chem.*, **237**, 1244, 1962.
- [3] Ho, H. C., et al.: *Biochim. Biophys. Acta*, **429**, 461, 1976.
- [4] Sharma, R. K.: *Adv. in Cyclic Nucleotide Res.*, **10**, 187, 1979.
- [5] Fiske, C. H. et al.: *J. Biol. Chem.*, **66**, 375, 1925.
- [6] Ross, E.: *Anal. Biochem.*, **54**, 304, 1973.
- [7] Lowry, O. H. et al.: *J. Biol. Chem.*, **193**, 265, 1951.

[本文于 1983 年 11 月 21 日收到]